



БИООРГАНИЧЕСКАЯ ХИМИЯ

Том 19 * № 7 * 1993

УДК 577.114.5:579.841.11:543.422.23

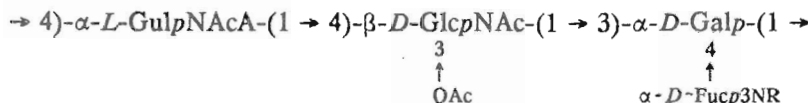
© 1993 Е. Л. Назаренко, В. А. Зубков,
А. С. Шашков, Ю. А. Книрель, Р. П. Горшкова,
Е. П. Иванова, Ю. С. Оводов

СТРУКТУРА ПОВТОРЯЮЩЕГОСЯ ЗВЕНА КИСЛОГО ПОЛИСАХАРИДА *Alteromonas macleodii* 2ММ6

Тихоокеанский институт биоорганической химии ДВО РАН, Владивосток;

[•] Институт органической химии им. Н. Д. Зелинского РАН, Москва

Кислый полисахарид *Alteromonas macleodii* 2ММ6 построен из тетрасахаридных повторяющихся звеньев, состоящих из остатков D-галактозы, 3-O-ацетил-2-ацетамило-2-дезокси-D-глюкозы, 2-ацетамило-2-дезокси-L-гулуроновой кислоты и 3,6-дидезокси-3-(4-гидроксибутирамидо)-D-галактозы. На основании данных моносахаридного анализа, ¹Н- и ¹³С-ЯМР-спектроскопии, включая ЯЭО и одномерный эксперимент НОННА, установлена следующая структура повторяющегося звена кислого полисахарида:



где R: $-\text{CO}-\text{CH}_2-\text{CH}_2-\text{CH}_2-\text{OH}$

Данная работа посвящена дальнейшему структурному исследованию полисахаридов рода *Alteromonas* [1, 2]. В настоящем сообщении приведены результаты структурного анализа кислого полисахарида *A. macleodii* 2ММ6.

Полисахарид получен из биомассы микроорганизмов экстракцией водным фенолом и освобожден от нуклеиновых кислот осаждением трихлоруксусной кислотой. При расщеплении полисахарида разбавленной уксусной кислотой с последующей гель-хроматографией на сефадексе G-50 получены высокомолекулярная и в незначительном количестве низкомолекулярная фракции. Поскольку, по данным ^{13}C -ЯМР-спектроскопии, исходный полисахарид и полученная из него высокомолекулярная фракция оказались практически идентичными, дальнейшая работа проведена с нативным полимером.

В гидролизате полисахарида с помощью БХ и ГЖХ в виде ацетатов полиолов идентифицированы галактоза, глюкозамин и 3,6-дизезокси-3-аминогалактоза (3-аминофукоза). Все три моносахарида выделены в индивидуальном виде препартивной БХ, и на основании величин удельного оптического вращения установлено, что все они имеют *D*-конфигурацию.

Из низкомолекулярной фракции с помощью БХ выделен моносахарид с R_{Gal} 1,35, который дополнительно очищен микропрепаративной ВЭЖХ. В его $^1\text{H-NMR}$ -спектре (табл. 1) наблюдаются три серии сигналов, две из которых принадлежат остаткам α - и β -3-амино-3,6-дидезокси-*D*-галактопиранозы, а третья отвечает 4-гидроксибутирильной группе: H''_2 при 2,37 м. д. (триплет, $J = 8.0 \text{ Гц}$).

Таблица I

Данные ЯМР-спектров 3,6-диdezокси-3-(4-гидроксибутирамидо)-D-галактозы и 3,6-диdezокси-3-амино-D-галактозы (хим. сдвиги, м. д.; КСВВ, Гц)

Атом С или Н	Атомер			Атом С или Н					
	1	2	3	4	5	6	2'	3'	4'
α -Fuc3NR *	H	5,20 д	3,80 д	4,17 дд	3,72 дд	4,23 дк	1,17 д	2,37 т	3,62 т
	J	3,5	10,6	3,5	2	6,5		8,0	7,0
	C	92,7	67,0	51,8	71,4	67,2	16,5	33,3	28,7
α -Fuc3N	H	5,18 д	3,88 дк	3,55 дд	3,85 дд	4,19 дк	1,14 д		
	J	3,5	10,5	3,5	2	6,5			
	C	92,6	66,2	53,5	69,4	66,9	16,5		
β -Fuc3NR	H	4,63 д	3,46 дд	3,93 дд	3,68 дд	3,87 дк	1,22 д	2,37 м	3,62 т
	J	8,0	10,6	3,5	2	6,5		8,0	7,0
	C	97,7	70,5	55,7	71,0	72,7	16,5	33,3	28,7
β -Fuc3N	H	4,58 д	3,53 дд	3,35 дд	3,85 дд	3,88 дк	1,19 д		
	J	7,6	10,6	3,3	2	6,4			
	C	97,4	69,2	56,8	69,6	72,7	16,6		

* R = -CO-CH₂-CH₂-CH₂-OH.

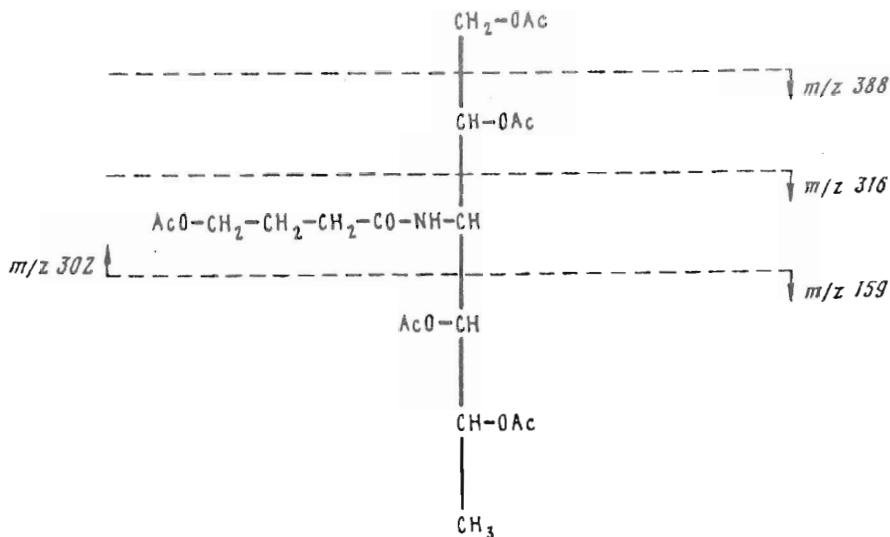


Рис. 1. Фрагментация под электронным ударом ацетата полиола 3,6-дидезокси-3-(4-гидроксибутириамидо)-D-галактозы (первичные фрагменты)

$\text{H}3'$ при 1,85 (мультиплет, $J_{3,4}$ 7,0 Гц) и $\text{H}4'$ при 3,62 м. д. (триплет, $J_{3,4}$ 7,0 Гц). Эти данные подтверждены при анализе ^{13}C -ЯМР-спектра моносахарида (табл. 1), в котором наряду с сигналами α - и β -3-аминофукопиранозы присутствуют линии резонанса 4-гидроксибутановой кислоты: $\text{C}2'$ при 33,3 м. д., $\text{C}3'$ при 28,7 и $\text{C}4'$ при 61,8 м. д. Строение моносахарида подтверждено также ГЖХ-МС его ацетата полиола. Фрагментация этого производного под электронным ударом приведена на рис. 1. Таким образом, можно сделать вывод, что 3-аминосахар, входящий в состав полисахарида, ацилирован 4-гидроксибутановой кислотой.

^{13}C -ЯМР-спектр полисахарида (рис. 2, табл. 2) указывает на регулярный характер молекулы и тетрасахаридный размер ее повторяющегося звена. В спектре наблюдаются сигналы 6-дезоксигруппы 3-аминофукозы при 16,7 м. д., О-ацетильной группы и двух ацетамидных групп. Сигналы при 29,0, 33,6, 62,1 и 175,2 м. д. принадлежат 4-гидроксибутиральному остатку. Из других характерных сигналов следует отметить линии резонанса трех атомов углерода, связанных с азотом, при 47,4, 52,0 и 55,7 м. д. и двух гидроксиметильных групп при 60,5 и 61,5 м. д. В слабом поле присутствует пять сигналов карбонильных групп в области 174,8—177,7 м. д., причем четыре из них принадлежат двум ацетамидным, О-ацетильной и 4-гидроксибутиральной группам. Наличие пятого слабопольного сигнала, а также сигналов при 47,4 и 23,1 м. д. позволяет предположить присутствие в повторяющемся звене остатка аминоуроновой кислоты. Результаты эксперимента по неселективному переносу поляризации [3] указывают на отсутствие в составе повторяющегося звена 1,6-связанных моносахаридных остатков.

Константы спин-спинового взаимодействия (КССВ) $'J_{\text{c},\text{n}}$, определенные из ^{13}C -ЯМР-спектра, снятого без подавления углерод-протонных взаимодействий, сравнительно велики (порядка 170 Гц) для сигналов аномерных атомов углерода при 99,7 (двойной интенсивности) и 97,5 м. д., которые принадлежат, таким образом, α -связанным моносахаридам. Относительно небольшая константа (163 Гц) для сигнала 103,2 м. д. свидетельствует о β -конфигурации соответствующего моносахарида [4]. Величины КССВ свидетельствуют также о пиранозной форме всех моносахаридных остатков (КССВ фуранозидов имеют величины не менее 173 Гц [5]).

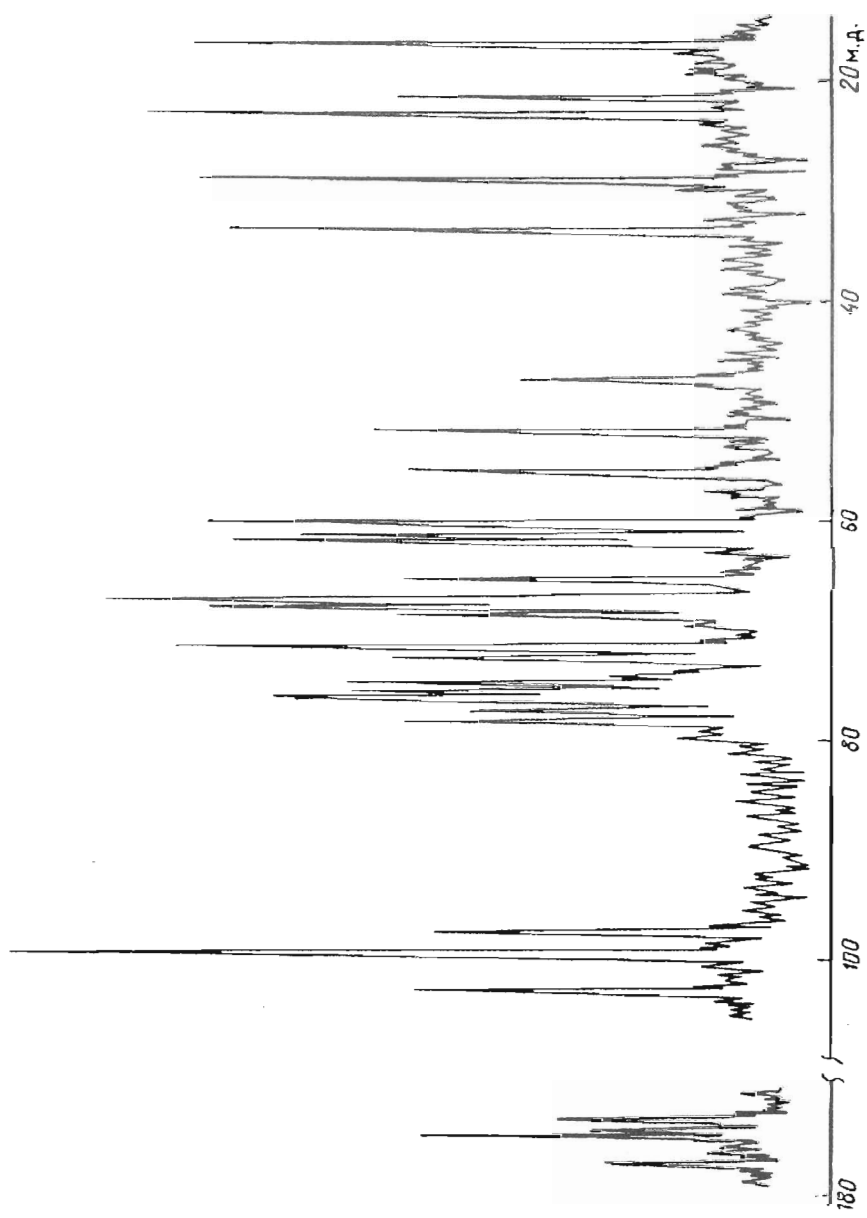


Рис. 2. ^{13}C -ЯМР-спектр полисахарида *A. macleodii* 2MM6

Таблица 2

Данные ^{13}C -ЯМР-спектра полисахарида (хим. сдвиги, м. д.)

Моносахаридный остаток	C1	C2	C3	C4	C5	C6
A: $\rightarrow 4)$ -L-GulpNAc $^{\alpha}$ - α -(1 \rightarrow	99,7	47,4	65,8	75,0	68,2	177,7
B: $\rightarrow 4)$ -D-GlcNAc $^{\beta}$ - β -(1 \rightarrow	103,2	55,7	76,3	77,2	76,0	61,5
C: -3,4)-D-Galp- α -(1 \rightarrow	97,5	69,1	78,8	76,3	72,6	60,5
D: D-Fucp3N- α -(1 \rightarrow	99,7	67,7	52,0	71,9	68,2	16,7
-CO-CH ₂ -CH ₂ -CH ₂ -OH	175,2	33,6	29,0	62,1		

* Сигналы N-ацетильных групп: CH₃ при 23,0 и 23,1 м. д., C=O при 173,8 и 174,8 м. д.

Для дальнейшего структурного анализа полисахарида использована ^1H -ЯМР-спектроскопия. Положение сигналов и величины КССВ определены в одномерном эксперименте НОНАНА [6]. Для двух сахаров, имеющих сигналы аномерных протонов при 4,88 и 4,95 м. д., химические сдвиги сигналов кольцевых протонов и их расщепление установлены в эксперименте с возбуждением аномерных протонов (рис. 3). При этом из величин КССВ следует, что моносахарид, имеющий сигнал аномерного протона при 4,95 м. д., является α -б-дезоксигалактозой, а по положению сигнала его H-3 (4,17 м. д.) можно сделать вывод о том, что в положении 3 находится N-ацильная группа. Согласно данным моносахаридного анализа, этим моносахаридом может быть только 3,6-дизокси-3-(4-гидроксибутирамидо)-D-галактоза (звено D). Из величин КССВ следует также, что моносахарид с химическим сдвигом аномерного протона при 4,88 м. д. (звено B) имеет β -глюко-конфигурацию, а положение сигнала его H-3 в значительно более слабом поле (5,18 м. д.) по сравнению с обычным положением (3,56 м. д.) [7] может быть объяснено только дезакренирующим влиянием О-ацетильной группы, которая находится, таким образом, в положении 3 этого моносахарида.

Ввиду совпадения сигналов аномерных протонов оставшихся двух моносахаридных остатков (5,08 м. д.) первоначально были определены положение и форма сигналов кольцевых протонов обоих остатков при возбуждении аномерных протонов, а затем при возбуждении хорошо разрешенных сигналов при 4,26, 4,38 и 4,59 м. д. При этом выделены две индивидуальные серии сигналов, относящихся к различным остаткам. Определение конфигурации этих моносахаридов было затруднено из-за малых величин КССВ и совпадения сигналов H-2 и H-3 одного из остатков. Поэтому для определения величин КССВ проведена серия экспериментов гомоядерного двойного резонанса в разностном варианте [8] (табл. 3). Набор констант для остатка A может отвечать только моносахариду с α -глюко-конфигурацией, поскольку среди других пираноз с малыми константами $^3J_{\text{H},\text{H}}$ через три связи для кольцевых протонов (α -тапо-, β -тапо- и β -идо-конфигурации) нет сахаров с $^3J_{\text{H}_1,\text{H}_2} > 3$ Гц [9]. Положение сигнала H-2 этого моносахарида в значительно более слабом поле (4,38 м. д., уш. с, $J_{2,3}$ 4,0 Гц) по сравнению с сигналом H-2 α -гулопиранозы (3,74 м. д.) [9] свидетельствует об N-ацилировании в положение 2. В то же время форма сигнала H-5 этого моносахарида (4,59 м. д., уш. с) и отсутствие сигналов H-6a и H-6b в разностном спектре ЯЭО (см. ниже) при его предоблучении указывают на локализацию в положении 6 карбоксильной группы. Таким образом, остаток A представляет собой α -связанную 2-ацетамидо-2-дезоксигулуроновую кислоту. По данным моносахаридного анализа и ^{13}C -ЯМР-спектра, оставшийся моносахарид (остаток B), для которого найдены КССВ $J_{1,2}$ 3,5 и $J_{4,5}$ 2 Гц, по методу исключения может иметь только α -галакто-конфигурацию.

Последовательность соединения моносахаридных остатков и типы замещения определены с помощью одномерного эксперимента ЯЭО в лабораторной системе координат (рис. 4, табл. 4) и двумерной спектроскопии ЯЭО во вращающейся

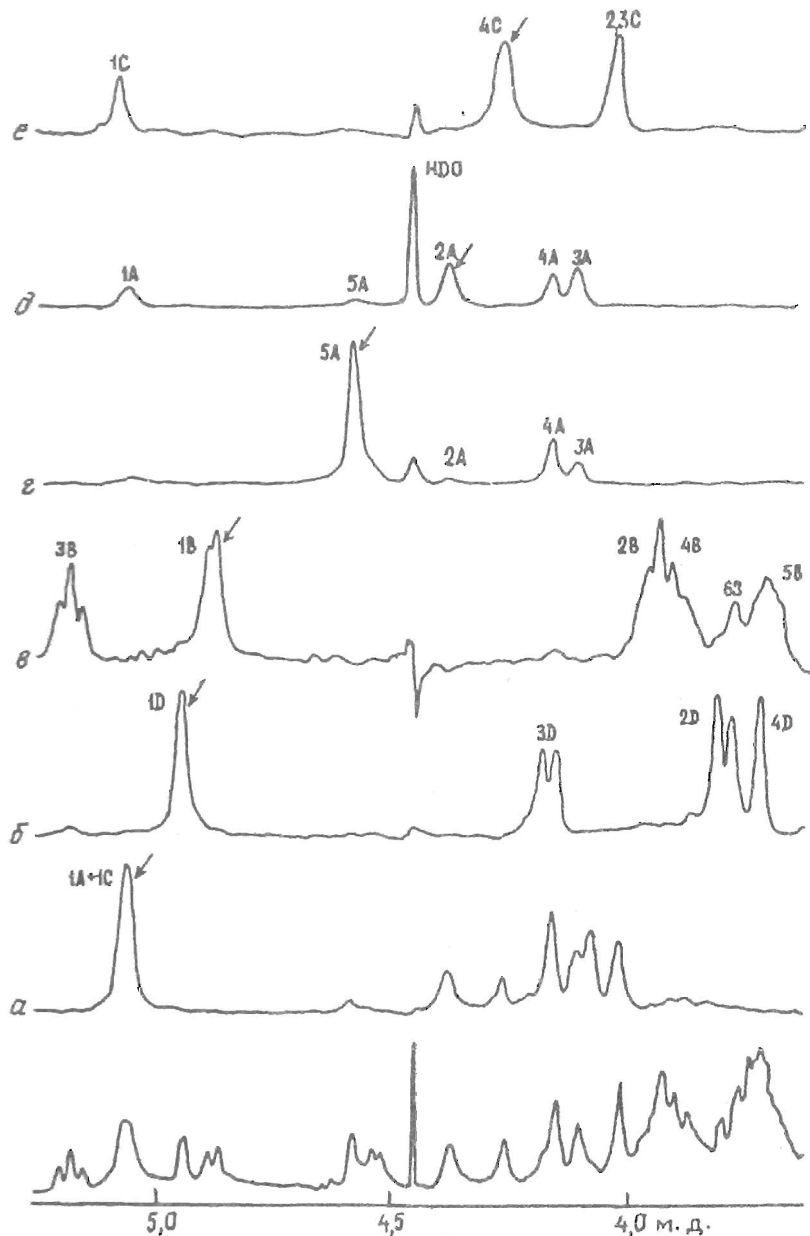


Рис. 3. Слабопольная область ^1H -ЯМР-спектра полисахарида (внизу) и одномерные спектры НОНАНА, полученные при возбуждении протонов: H-1A и H-1C (a), H-1D (b), H-1B (c), H-5A (d), H-2A (e), H-4C (f). Здесь и на рис. 4, 5 буквы относятся к моносахаридным остаткам в соответствии со структурной формулой, цифры обозначают номер протона в остатке

системе координат ROESY [10]. При этом последовательное предоблучение аномерных протонов остатков А и С вызывает заметные ЯЭО на H-2, H-3 и H-4 остатка А, H-2 остатка С и H-4, H-5, H-6а и H-6б остатка В. Поскольку оба моносахарида имеют α -конфигурацию гликозидного центра, результат эксперимента однозначно указывает на последовательное соединение остатков А, В и С. В данном случае предоблучение аномерных протонов должно вызывать ЯЭО только на H-2 собственного остатка; появление же остальных сигналов —

Таблица 3

Данные ^1H -ЯМР-спектра полисахарида

Моносахаридный остаток	Протон	Химический сдвиг, м. д.	Наблюдаемая мультиплетность	КССВ, Гц
A: $\rightarrow 4$ -L-GulpNAc α -(1 \rightarrow	H1	5,07	ус	$J_{1,2} \sim 3,0$
	H2	4,38	ус	$J_{2,3} 4,0$
	H3	4,11	ус	$J_{3,4} 4,0$
	H4	4,15	ус	$J_{4,5} 2$
	H5	4,58	ус	
B: $\rightarrow 4$ -D-Glc p NAc β -(1 \rightarrow	H1	4,89	д	$J_{1,2} 8,5$
	H2	3,93	дд	$J_{2,3} 9,0$
	H3	5,18	т	$J_{3,4} 9,0$
	H4	3,90	т	$J_{4,5} 10,0$
	H5	3,72	м	
C: $\rightarrow 3,4$ -D-Gal p α -(1 \rightarrow	H6a	3,96		
	H6b	3,82	д	$J_{6a,6b} 3,5$
	H1	5,07	ус	$J_{1,2} > 3,5$
	H2	4,03		
	H3	4,03		
D: D-Fuc p β N α -(1 \rightarrow	H4	4,28	ус	$J_{4,5} 2$
	H5	3,95		
	H1	4,95	д	$J_{1,2} 3,5$
	H2	3,79	дд	$J_{2,3} 10,0$
	H3	4,17	дд	$J_{3,4} 3,0$
$-\text{CO}-\text{CH}_2-\text{CH}_2-\text{CH}_2-\text{OH}$	H4	3,72	ус	$J_{4,5} < 2$
	H5	4,53		
	H2'	2,37	т	$J_{2',3'} 8,0$
	H3'	1,85	кв	$J_{3',4'} 7,5$
	H4'	3,62	т	

результат контакта аномерных протонов с кольцевыми протонами других остатков через гликозидную связь. Таким образом, появление ЯЭО на H-4, H-5, H-6a и H-6b остатка В свидетельствует о его замещении остатком А в положение 4 или 6. Однако, согласно данным ^{13}C -ЯМР-спектра, в повторяющемся звене отсутствуют замещенные CH_2 -группы; следовательно, 1 \rightarrow 6-связь в данном случае исключена. Для фрагмента С \rightarrow А возможна 1 \rightarrow 4-связь в случае L-конфигурации или 1 \rightarrow 3-связь при D-конфигурации гулозного цикла [11].

Предоблучение аномерного протона единственного остатка с β -конфигурацией гликозидной связи (звено В) вызывает ЯЭО на H-2, H-3 и H-5 собственного остатка и H-3 остатка С. Последнее свидетельствует о наличии 1 \rightarrow 3-связи между остатками В и С и их одинаковой абсолютной конфигурации [11].

Наконец, предоблучение аномерного протона фукозаминидного остатка (звено D) приводит к появлению ЯЭО на H-2 собственного остатка, H-4, H-6a и H-6b остатка С, а также небольших по интегральной интенсивности сигналов H-3 и H-5 остатка С. Этот эксперимент указывает на наличие 1 \rightarrow 4-связи между звеньями D и С и их одинаковую абсолютную конфигурацию.

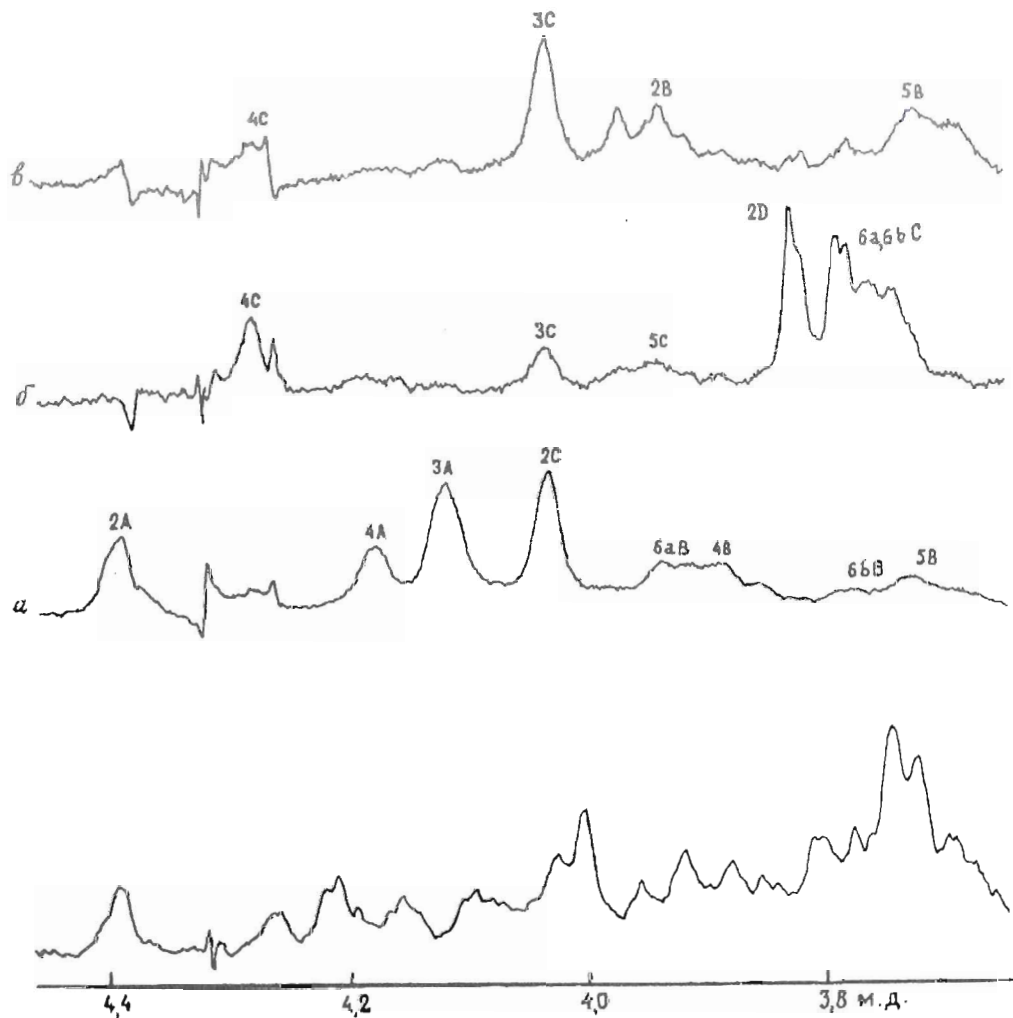


Рис. 4. Средняя область ^1H -ЯМР-спектра полисахарида (внизу) и разностные спектры ЯЭО, полученные при предоблучении аномерных протонов H-1A, H-1C (a), H-1D (b), H-1B (c). В последнем случае наблюдается также слабопольный сигнал протона H-3B, не указанный на рисунке

Результаты двумерного эксперимента ROESY (рис. 5) полностью подтверждают данные одномерного эксперимента ЯЭО и, кроме того, выявляют два важных дальних контакта между протонами H-3 остатка B и H-5 остатка A, а также H-5 звена D и H-6 звена B. Построение молекулярных моделей с учетом преимущественной конформации вблизи гликозидной связи [12] показывает, что подобные контакты возможны только при разной абсолютной конфигурации остатков A и B и одинаковой абсолютной конфигурации остатков B и D. Поскольку однозначно установлено, что остатки B и D имеют D-конфигурацию, остаток 2-амино-2-дезоксигулуроновой кислоты может быть отнесен к L-ряду и, исходя из приведенных выше данных, замещен в положение 4.

Полное отнесение сигналов в ^{13}C -ЯМР-спектре полисахарида проведено с помощью двумерной гетероядерной $^{13}\text{C}/^1\text{H}$ -корреляционной спектроскопии. В данном эксперименте подтверждены типы связей между моносахаридными остатками,

Таблица 4

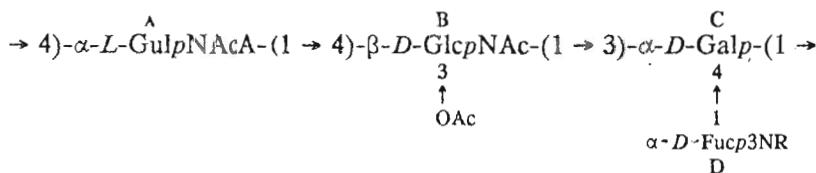
Данные одномерного ЯЭО-спектра полисахарида

Протоны, на которых наблюдается ЯЭО	Предоблучаемые протоны		
	1A + 1C	1B	1D
2A	+		
3A	+		
4A	+		
2B		+	
3B		+	
4B	+		
5B	+	+	
6,6B	+		
2C	+		
3C		+	+
4C		+	+
5C			+
6,6C			+
2D			+

^a Небольшой по интенсивности пик за счет спиновой диффузии.

а также гуло-конфигурация аминоуроновой кислоты и локализация ацетамидной группы по С-2 этого моносахарида. Действительно, сигнал С-2, несущего N-ацетильную группу, в сильном поле (47 м. д.) характерен для единственной пиранозы с α -гуло-конфигурацией, что нетрудно подтвердить простым расчетом, вычитая обычный (16—18 м. д.) эффект замены OH-группы на NHAc из химического сдвига С-2 пираноз [9].

Таким образом, полученные данные позволяют установить полную структуру повторяющегося звена кислого полисахарида *A. macleodii* 2ММб:



R: -CO-CH₂-CH₂-CH₂-OH

Интересно, что повторяющееся звено полисахарида содержит два довольно редких моносахарида: 3,6-дизокси-3-амино-D-галактозу, ацилированную остатком 4-гидроксибутановой кислоты (такой N-ацильный заместитель впервые обнаружен в составе бактериальных полисахаридов) и 2-амино-2-дезокси-L-гуулуроновую кислоту, идентифицированную ранее в составе капсульных полисахаридов *Vibrio parahaemolyticus* K15 [13] и *Neisseria meningitidis* группы I [14].

Экспериментальная часть

¹Н-ЯМР-спектры сняты на приборе Bruker WM-250 в D₂O при 30° С, ¹³C-ЯМР-спектр получен на спектрометре Bruker AM-300 в D₂O при 60° С. Одномерный эксперимент НОНАНА проводили по методике [15]. ЯЭО-спектры и двумерный гетероядерный COSY-спектр получены как описано ранее [16].

Растворы лиофилизовали или упаривали в вакууме. Оптическое вращение измеряли на приборе Perkin — Elmer 141. Нисходящую хроматографию проводили на бумаге Filtrak FN-15 и Whatman 3MM в системе растворителей *n*-бутанол—

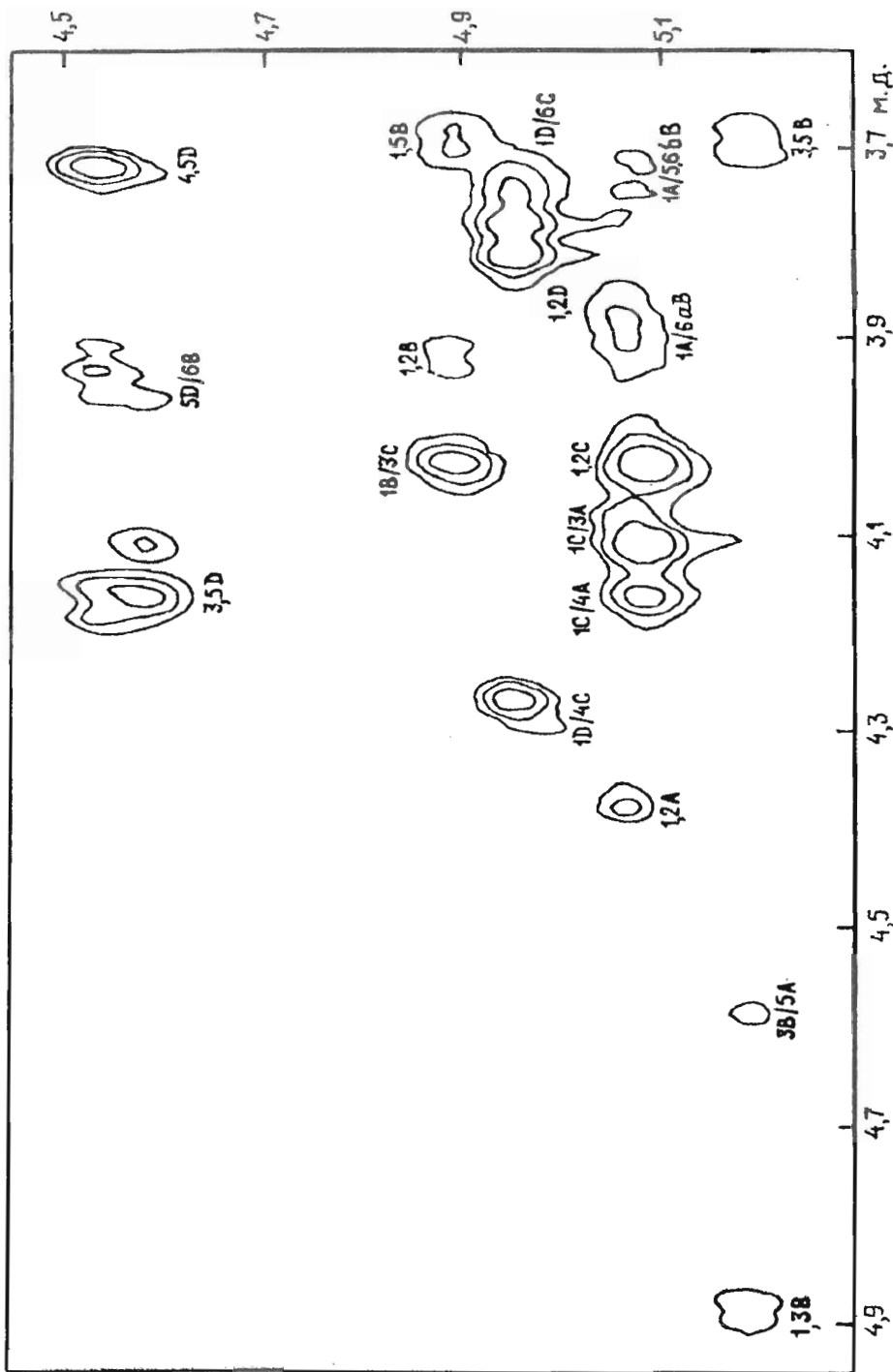


Рис. 5. ROESY-спектр полисахарида

пиридин—вода (6 : 4 : 3) при обнаружении моносахаридов щелочным нитратом серебра. Гель-хроматографию осуществляли на колонке (2,5 × 90 см) с сефадексом G-50 в 0,3% уксусной кислоте. ВЭЖХ проводили на колонке (0,4 × 25 см) с сорбентом Silasorb SPH C₁₈(LC) (7,5 мкм) в 0,05% трифтормукусной кислоте. Элюционные кривые строили с помощью дифференциального рефрактометра RIDK 101 (ЧСФР). ГЖХ-анализ выполняли на приборе Pye Unicam 104 на колонке (0,4 × 150 см) с 3% QF-1 на Gas Chrom Q (100—120 меш) в интервале температур 175 → 225° С. ГЖХ-МС проводили на приборе LKB 9000S на той же колонке.

Продуцирование микроорганизма *A. macleodii* 2ММб проводили как описано в работе [1].

Полисахарид из сырой микробной биомассы выделяли по методу [17]; нуклеиновые кислоты осаждали 50% трихлоруксусной кислотой при pH 2, осадок удаляли центрифугированием, супернатант диализовали и лиофилизовали. Выход полисахарида 4% от веса влажной биомассы.

Частичный кислотный гидролиз. Полисахарид (1 г) гидролизовали 1% уксусной кислотой (100 мл, 2 ч, 100° С), гидролизат концентрировали и подвергали гель-хроматографии на сефадексе G-50. Получали высокомолекулярную (800 мг) и низкомолекулярную (150 мг) фракции; из последней препаративной БХ с последующей очисткой ВЭЖХ выделили 3,6-дидезокси-3-(4-гидроксибутирамидо)-D-галактозу (20 мг), $[\alpha]_{578}^{20} +91^\circ$ (с 0,2, вода). 1 мг моносахарида восстанавливали, ацетилировали и анализировали ГЖХ-МС.

Полный кислотный гидролиз. Полисахарид (2 мг) гидролизовали 2 М трифтормукусной кислотой (1 мл, 3 ч, 100° С), гидролизат упаривали и анализировали с помощью БХ и ГЖХ в виде ацетатов полиолов. В препаративном варианте гидролиза использовали 15 мг полисахарида и 2 мл кислоты; препаративной БХ выделили 3 мг D-галактозы, $[\alpha]_{578}^{20} +75^\circ$ (с 0,3, вода), 4 мг D-глюкозамина, $[\alpha]_{578}^{20} +62^\circ$ (с 0,4, вода) и 3 мг 3,6-дидезокси-3-амино-D-галактозы, $[\alpha]_{578}^{20} +22^\circ$ (с 0,3, вода).

СПИСОК ЛИТЕРАТУРЫ

- Горшкова Р. П., Назаренко Е. Л., Зубков В. А., Иванова Е. П., Оводов Ю. С., Шашков А. С., Книрель Ю. А.//Биоорган. химия. 1993. Т. 19. № 3. С. 327—336.
- Назаренко Е. Л., Горшкова Р. П., Зубков В. А., Шашков А. С., Иванова Е. П., Оводов Ю. С.//Биоорган. химия. 1993. Т. 19. № 7. С. 733—739.
- Dodrell D. M., Pegg D. T., Bendall M. R.//J. Magn. Reson. 1982. V. 48. P. 323—327.
- Bock K., Pedersen C.//J. Chem. Soc. Perkin Trans. II. 1974. № 3. P. 293—297.
- Cyr N., Perlin A. S.//Can. J. Chem. 1979. V. 57. № 18. P. 2504—2511.
- Subramanian S., Bax A.//J. Magn. Reson. 1987. V. 71. P. 325—330.
- Jansson P.-E., Kenne L., Widmalm G.//Carbohydr. Res. 1989. V. 188. P. 169—191.
- Kocharova N. A., Knirel Y. A., Shashkov A. S., Kochetkov N. K., Pier G. B.//J. Biol. Chem. 1988. V. 263. № 23. P. 11291—11295.
- Шашков А. С.//Изв. АН СССР. Сер. хим. 1983. № 6. С. 1328—1336.
- Bax A., Davis D. G.//J. Magn. Reson. 1985. V. 65. P. 355—360.
- Lipkind G. M., Shashkov A. S., Mamyan S. S., Kochetkov N. K.//Carbohydr. Res. 1988. V. 181. № 1. P. 1—12.
- Lemieux R. U., Bock K., Delbaere L. T. J., Koto S., Rao V. S.//Can. J. Chem. 1980. V. 58. P. 631—653.
- Torii M., Sakakibara K., Kuroda K.//Eur. J. Biochem. 1973. V. 37. № 2. P. 401—405.
- Michon F., Brisson J. R., Roy R., Ashton F. E., Jennings H. J.//Biochemistry. 1985. V. 24. № 20. P. 5592—5598.
- Vinogradov E. V., Shashkov A. S., Knirel Y. A., Kochetkov N. K., Dabrowski J., Grosskurth H., Stanislavsky E. S., Kholodkova E. V.//Carbohydr. Res. 1992. V. 231. № 1. P. 1—11.

16. Shashkov A. S., Vinogradov E. V., Daeva E. D., Knirel Y. A., Zdorovenko G. M., Gubanova N. Y., Yakovleva L. M., Zakharova I. Y. // Carbohydr. Res. 1991. V. 212. № 2. P. 301—305.
 17. Westphal O., Lüderitz O., Bister F. // Z. Naturforsch. 1952. B. 7B. № 1. S. 148—155.

Поступила в редакцию
15.II.1993

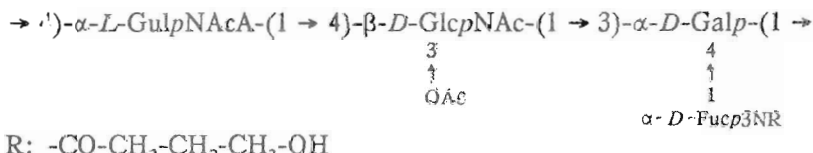
E. L. Nazarenko, V. A. Zubkov, A. S. Shashkov^{},
Y. A. Knirel^{*}, R. P. Gorshkova, E. P. Ivanova, Yu. S. Ovodov*

STRUCTURE OF THE REPEATING UNIT OF THE ACIDIC POLYSACCHARIDE FROM *Alteromonas macleodii* 2MM6

Pacific Institute of Bioorganic Chemistry, Russian Academy of Sciences, Far East Division, Vladivostok;

**N. D. Zelinsky Institute of Organic Chemistry, Russian Academy of Sciences,
Moscow*

An acidic polysaccharide from *Alteromonas macleodii* 2MM6 is shown to consist of tetrasaccharide repeating units containing *D*-galactose, 3-O-acetyl-2-acetamido-2-deoxy-*D*-glucose, 2-acetamido-2-deoxy-*L*-guluronic acid and 3,6-dideoxy-3-(4-hydroxybutyramido)-*D*-galactose residues. On the basis of sugar analysis, ¹H and ¹³C NMR-spectroscopy data including NOE and one-dimensional HOHAHA experiments, the following structure was suggested for the polysaccharide repeating unit:



R: -CO-CH₂-CH₂-CH₂-OH